LE BRUIT GENERE PAR L'OPERATION D'UN
POSTE DE PESEE

PAR

GUY PELOQUIN, STAGIAIRE EN PHYSIQUE
M.T.Q.-ENVIRONNEMENT, MTL. JUILLET '83

LE BRUIT GENERE PAR L'OPERATION D'UN POSTE DE PESEE

PAR

GUY PELOQUIN

STAGIAIRE EN PHYSIQUE

MINISTERE DES TRANSPORTS

JUILLET 1983

QMTRA CANQ TR GE SIJ REÇU CENTRE DE DOCUMENTATION

JUIN 25 1991

TRANSPORTS QUÉBEC

Table des matières

	Page
Liste des tableaux	3
Liste des figures	3
1. Introduction	4
2. Procédure de prise de données	4 5
3. Prédictions du niveau sonore: modèle	7
4. Application: Poste de Beloeil	9
5. Conclusion	11
Tableaux et figures	12
Bibliographie	37
Annexe A: Modèle: Prédictions du niveau sonore produit par les camions d'un poste de pesée	38
Annexe B: Simulation dúsposte de Beloeil	55

Liste des tableaux

1: Vitesse des camions sur la voie d'accélération

11: Bruit des camions en accélération

111: Bruit des camions en accélération

1V: Bruit des camions en accélération :

V: Bruit des camions en accélération

V1: Bruit des camions en décélération

VII: Relevé de circulation

VIII: Bruit moyen en fonction de la vitesse et du nombre d'essieux 5

1X: Relevé sonore fait sur le terrain

X: Bruit généré par le poste de pesée

A-1: Contenu du programme de simulation

Liste des figures

1: Vitesse, en fonction de la position, d'un camion accelerant

22 Bruit en fonction de la vitesse d'un camion durant l'accélération

3: Bruit en fonction de la vitesse d'un camion durant la décélération

B-1: Poste de pesée de Beloeil

B-2: Paramètres du poste de pesée nécessaires à la simulation

B-3: Résultats de la simulation

1. INTRODUCTION

Dans le cadre d'une politique visant à implanter plusieurs postes de pesée à l'échelle du Québec, il convient de pouvoir déterminer l'ampleur du bruit produit par l'opération de ces postes.

Le présent compte-rendu se veut une synthèse des résultats obtenus lors de l'étude du poste de pesée situé aux abords de l'autoroute vingt (20) dans la région de Beloeil à proximité de Montréal.

L'objectif ultime est de mettre au point un modèle informatisé permettant de prédire le niveau sonore généré par les camions au cours des pesées. Basé sur les données de Beloeil, ce modèle pourra être généralisé pour ainsi pouvoir s'appliquer à tous les cas.

Ce compte-rendu est séparé en trois grandes parties: dans un premier temps, il sera question de la prise de données, dans la région de Beloeil, et de leur analyse; dans la deuxième partie, le fonctionnement du modèle informatisé sera explicité, tandis qu'un exemple pratique viendra terminer le tout.

2. PROCEDURE DE PRISE DE DONNEES

Pour pouvoir mettre au point un modèle informatiséprédisant correctement le niveau sonore généré par l'opération d'un poste de pesée, il convient de déterminer les paramètres suivants: vitesse moyenne des camions tout au long des pistes d'accélération et de décélération, nombre et type de camions empruntant le poste en une heure, niveau sonore maximal déterminé durant l'accélération ou la décélération.

Les vitesse moyennes des camions ont été calculées en mesurant le temps requis pour parcourir une distance déterminée. On remarquera que le tableau l présente les résultats tandis que la figure l présente le profil moyen de vitesse lors de l'accélération.

Les camions passant dans le poste de pesée durant chaque heure ont été comptés et ont été classés quant au nombre d'essieux. Pour un certain nombre de ces camions, le niveau sonore instantané produit a été mesuré lorsqu'ils passaient à une distance de quatorze (14) mètres du microphone.

Le micro était placé à un point cinq (5) mêtres au-dessus du sol; le sonomètre était de marque Bruel and Kjaer, Impulse Precision Sound Level Meter, type 2209. Le filtre de fréquence de type A était utilisé. Ces résultats sont présentés dans les tableaux 11, 111, 1V, V et VI.

Le bruit produit par les camions d'un poste de pesée n'est pas constant dans le temps; pour tenir compte de cette variation temporelle, on exprime le niveau sonore par un Le_q qui est une moyenne pondérée dans le temps de l'énergie accoustique captée par un observateur.

Le Le peut être mesuré, sur le terrain, par un enregistreur statistique. Nous avons utilisé un appareil de marque Brüel and Kjaer, modèle 4426, que nous avons installé vis-à-vis le milieu de la voie d'accélération, à 270 mètres du centre de la balance, et à 60 mètres du milieu de la voie. Le tableau IX présente les résultats.

Le modèle nous donne les résultats sous la forme d'un Le produit par le poste; lors des mesures sur le terrain, il fallait donc poûvoir séparer le bruit produit par le poste de celui dû à l'autoroute. Nous avons donc fait des relevés sonores pendant huit heures: quatre (4) heures pendant lesquelles le poste était en opération et quatre (4) autres heures pendant lesquelles le poste était fermé. Nous avons choisi les heures de façon à ce que la circulation de l'autoroute soit à peu près la même pour chaque couple d'heures prises deux à deux. De cette façon on pourra séparer le bruit produit par l'opération du poste de celui causé par la circulation routière, et ainsi trouver le Le dû au poste de pesée. Un relevé de circulation apparaît sous la forme du tableau VII.

2.1 Analyse des résultats

Les mesures sur le terrain ont permis d'établir un profil de vitesse pour les camions empruntant la voie d'accélération. Ce profil est tracé à la figure l; l'ordonnée représente la vitesse, en km/h, tandis que l'abcisse correspond à la position du camion par rapport à la balance. On peut remarquer qu'au bout de la piste d'accélération, à 600 mètres de la balance, la vitesse est presque quatre-vingt km/h. Dans cette étude, on va supposer que le profil de vitesse lors de la décélération est sensiblement le même que celui durant l'accélération.

Les données des tableaux 11, 111, 1V, V, Vl nous permettent de constater qu'il n'y a pas de corrélation significative entre le niveau sonore produit par le passage d'un camion et le nombre d'essieux de ce dernier. On va donc s'intéresser plus particulièrement à la relation entre le bruit produit et la vitesse du camion. Le tableau VIII résume les niveaux sonores moyens en fonction des vitesses; les figures 2 et 3 présentent ces résultats.

On remarque tout de suite qu'il y a une différence quant au bruit produit par les camions selon qu'ils accélèrent ou décélèrent. Il semble que l'accélération soit plus bruyante; durant la décélération, les camions ne semblent pas compresser ce qui rend faible le bruit du moteur. On peut aussi noter que c'est au départ que l'accélération produit le plus de bruit; par la suite, le moteur semble tourner au même régime, produisant un niveau sonore relativement constant pour de faibles vitesses; à des vitesses supérieures à 50 km/h, nous n'avons pas pu faire de relevés sonores, nous avons donc appliqué l'équation de corrélation entre le niveau sonore et la vitesse présentée dans le FHWA-RD-77-108 (1) pour le bruit des camions lourds.

Lorsqu'ils empruntent la piste de décélération pour aller se faire peser, les camions attendent l'un derrière l'autre avant de passer sur la balance; pour cette raison, le niveau sonore des camions allant à de faibles vitesses, durant la décélération, est plus élevé que celui des camions allant un peu plus vite.

Le tableau IX présente les niveaux sonores équivalents mesurés sur le terrain. Durant quatre (4) heures le poste était en opération alors qu'il était fermé pendant quatre (4) autres heures.

Lorsque le poste était ouvert, les sources de bruit étaient les suivantes: camions dans le poste, automobiles et camions allant vers l'ouest. Pendant que le poste était fermé, le bruit provenait des camions et automobiles allant vers l'est ainsi que des camions et autos se dirigeant vers l'ouest.

On va comparer des couples d'heures pendant lesquelles la circulation automobile était semblable; ainsi, on va négliger l'effet des véhicules allant vers l'ouest. La différence entre les niveaux équivalents poste ouvert et poste fermé vient du bruit produit par les camions circulant vers l'est. Il y a, en moyenne, cent-dix (110) camions à l'heure sur cette voie; ceci génère un bruit de 63,5 dB(A) tel que calculé par Stamina.

On calcule donc le $\operatorname{Le}_{\mathbf{q}}$ du poste de pesée de la façon suivante:

$$Le_{q}$$
 (poste) = Le_{q} (ouvert) + 63,5 - Le_{q} (fermé)

Ce sont, bien sûr, des opérations logarithmiques.

Par exemple, pour les heures 10 à 11 et 15 à 16, on a
$$Le_q$$
 (ouvert) = 64,7 dB(A) Le_q (fermé) = 63,9 dB(A)

On obtient donc:

$$Le_{q}$$
 (poste) = 10 log (10 ^{6,47} + 10 ^{6,35} - 10 ^{6,39})
= 64,4 dB(A)

Les résultats obtenus pour les quatre (4) heures pendant lesquelle le poste était opérationnel sont résumés dans le tableau lX, accompagné du nombre de camions qui ont circulé dans le poste durant chaque heure. On remarque qu'il n'y a pas une bonne corrélation entre le bruit généré et le nombre de camions. Ces différences sont attribuées aux incertitudes en ce qui a trait au bruit produit par les camions et les automobiles circulant vers l'est.

La connaissance de la vitesse des camions en fonction de leur position dans le poste, de même que la connaissance du niveau sonore instantané produit par un camion allant à une vitesse connue, vont permettre la mise au point d'un modèle informatisé, un programme d'ordinateur écrit en langage Fortran, qui va prédire le niveau sonore global généré par l'opération d'un poste de pesée et ce, pour n'importe quel endroit aux âlentours du poste. On pourra comparer ces résultats calculés aux relevés sonores effectués sur le terrain.

Prédiction du niveau sonore: modèle

Ce modèle, dont le listing est présenté en annexe, s'inspire très largement de la théorie gouvernant le bruit contenu dans le rapport américain FHWA-RD-77-108 (1).

Etant donné que la vitesse des camions n'est pas constante tout au long du poste de pesée, il faut considérer de petits segments de route sur lesquels on suppose la vitesse constante. Il suffit ensuite d'additionner le bruit produit par chacun de ces segments.

Pour calculer le bruit produit, on applique l'équation suivante à chaque segment:

$$Le_{q} = \overline{L_{0}} + 0.115 C_{0}^{2} + 10 \log \frac{NmD_{0}}{TS} + 10 \log(D_{0}/D)^{\frac{1}{2}} + 10 \log \frac{(N_{0}/D_{0}/D)^{\frac{1}{2}}}{T}$$
(1)

où: Le : niveau sonore équivalent en dB(A)

niveau sonore maximal instantané, produit par un véhicule allant à une vitesse S, mesuré à une distance Do, en dB(A).

 $\boldsymbol{\sigma}_{\bullet}$: écart-type des \overline{L}_{\bullet} mesurés.

13

N : nombre de véhicules passant durant la période considérée T.

Do : distance, en mètres, à laquelle le niveau sonore instantané a été mesuré.

T : période de temps sur laquelle on veut connaître le Le_{a} .

S : Vitesse moyenne des N véhicules circulant sur le segment de route considéré, en m/h.

D : distance perpendiculaire entre l'observateur et le segment de route, en mètres.

paramètre d'atténuation prenant des valeurs entre 0,0 et 0,5 pour tenir compte du type de terrain situé entre la route et l'observateur.

 Ψ_{\star} ; fonction d'atténuation

 $\phi_{1}\phi_{2}$: angles sous-tendus par un segment de route.

Le calcul du niveau sonore produit par un segment particulier se base sur le bruit instantané généré par un véhicule passant à une distance Do. On corrige ensuite ce niveau sonore par rapport à la distance, à la vitesse, au débit; on fait un petit traitement statistique pour obtenir un niveau sonore équivalent (Leq); on tient compte de l'atténuation produite par le terrain et la distance. On obtient finalement un Le produit par ce segment de route particulier. Il suffit ensuite d'ad ditionner le bruit dû à chaque segment pour connaître le niveau équivalent produit par le poste entier à un endroit donné. On peut ensuite répéter le processus pour un autre observateur.

Toutes ces opérations ont été transcrites en un programme d'informatique dont le listing est présenté en annexe, accompagné d'explications plus détaillées quant au fonctionnement du modèle.

Pour pouvoir calculer le bruit généré par l'opération d'un poste de pesée, il suffit de donner certains paramètres à l'ordinateur: il s'agit de la géométrie du poste de pesée, donc les coordonnées des segments de route accompagnées du profil de vitesse, du débit horaire, de même que des positions auxquelles on veut connaître le niveau sonore; on spécifie aussi un paramètre d'atténuation. Avec ces données, le programme nous calcule le niveau sonore pour chacune des positions demandées.

Pour illustrer, de façon pratique, l'utilisation de ce modèle, nous allons simuler le poste de Beloeil aux abords de l'autoroute vingt (20).

4. Application: Poste de Beloeil

Le poste est schématisé à la figure B-1; la longueur totale est de mille deux cents (1\$200) mètres; c'est un poste unidirectionnel où les camions allant vers l'est doivent se faire peser.

La première chose à faire, si on veut connaître le bruit généré par ce poste, c'est d'approximer les voies d'accélération et de décélération par des segments de route rectilignes; on peut utiliser jusqu'à vingtacinq segments pour représenter la géométrie du poste.

Il s'agit ensuite de déterminer les coordonnées, en mètres, par rapport à un système d'axes à partir duquel tout sera mesuré; ce système d'axes sera bidimensionnel; on va supposer que le terrain est plat d'où l'absence de coordonnée . On note les coordonnées des deux points extrêmes de chaque segment. A chacun des segments, il faut associer un profil de vitesse qu'on suppose varier linéairement selon la longueur du segment. Pour ce faire, on se base sur les résultats de l'étude de vitesse présentés à la figure l.

Finalement, il faut spécifier si le segment en question fait partie de la voie d'accélération ou bien de décélération.

Il faut ensuite choisir les endroits pour lesquels on veut que le niveau sonore soit calculé. On va appeler ces localisations des observateurs. On spécifie les coordonnées de ces points par rapport au même système d'axes que pour les segments de route. On peut définir un maximum de deux cents cinquante observateurs.

On entre ensuite le débit horaire, à savoir le nombre de camions à l'heure qui vont se faire peser. Finalement on spécifie un angle, en degrés, sur lequel la sommation sera faite; on va utiliser un centième (0,01) de degré; on mentionne aussi un paramètre d'atténuation qui vaudra trois dixième (0,3).

En faisant digérer ces données, accompagnées du programme, par l'ordinateur, on obtient le niveau sonore équivalent, en dB(A), pour chaque observateur; on peut ainsi tracer des isophones autour du poste, ou bien calculer l'impact sonore de l'opération de ce dernier. En fait, on peut obtenir le niveau sonore produit par le poste pour quelque endroit que ce soit.

On retrouvera une étude plus exhaustive du poste de Beloeil en annexe. On pourra comparer le niveau sonore calculé à celui mesuré sur le terrain.

La simulation prédit un Le de 64,4 dB(A) alors que les relevés sonores nous donnent en moyenne 63,9 dB(A). On voit donc qu'il y a une bonne correspondance entre le modèle et les mesures sur le terrain.

5. CONCLUSION

La théorie à la base du modèle Stamina, accompagnée des résultats des mesures effectuées sur le terrain au poste de pesée de Beloeil, ont permis la mise au point d'un modèle informatisé de prédictions du niveau sonore généré par l'opération d'un poste de pesée quelconque. C'était une étude intéressante parce que les véhicules ne circulaient pas à vitesse constante sur les segments de route; au contraire, ils accéléraient et décéléraient.

La méthode utilisée dans le traitement de cette situation peut s'étendre et s'appliquer, moyennant quelques modifications, à d'autres cas où les véhicules ne circulent pas à vitesse constante. TABLEAUX ET FIGURES

Tableau l

Vitesse des camions sur la voie d'accélération ?

. ·	Position par à la balance (en mètres)	rapport	Vitesse moyenne (en km/h)⊖	•
	30		5	
	60		10	
	90		15	
	120		19	
	150		24	
	180		29	
	210	•	34	
	240		38	•
-	270		43	
	300		48	
	330		52	•
	360		54	
	390		57	
	420		60	
	450	·.	63	
	480		66	
	510		69	
	540		7 2	
	570		75	
	600		78	
	630	•	81	
	660		84	

Tableau 11

Bruit des camions en accélération

	Nombre d'essieux	Niveau sonore (en dB(A))
	6	84
•	4	76
	4	82
	4	78
	5 ·	83
	5	78
	5	78
	5	82
	5	78
	6	82
	5	80
•	2	86
	2	78
	7	81
	5	83 ·
, , , , , , , , , , , , , , , , , , ,	5	80
•	7	80 3
• .	. 6	79
	7	82
	2	77
	5	80
	7	81
		•

Vitesse des camions: 43 km/h Distance camion-sonomètre: 14 m

Tableau 11 (Suite)

Bruit des camions en accélération

	Nombre d'essieux	Niveau sonore (en dB(A))	
	5	76	
	7	82	
	6	88	
	8	84	
	2	73	
	6	81	
	6	78	
	5	80	
	5	80	
	2	74	
	6	82	
	5	82	
	3	82	
	6	85	
	5	84	
	6	85	
	6	83	
	5	82	
	4	78	
	. 5	81	
÷	5	77	
	5	83	
	2	76	

Tableau 11 (Suite)

Bruit des camions en accélération

Nombre d'essieux	Niveau sonore (en dB(A))	
6	84	
5	91	
5	80	
8	80	
2	83	
3	78	
7	83	
4	81	
8	84	
6	84	
2	. 84	
6	81	i
5	81	
. 7	82	
5	80	
8	80	
6	79	**
8	79	

Vitesse des camions: 43 km/h

Tableau III

Bruit des camions en accélération

Nombre	d'essieux	Niveau sonore (en dB(A))
,	5	78
	3	87
1	5	80
	6	86
	2	72
1	4	72
	3	85
1	5	84
1	5	79
:	5	77
	5	81
i i	3	82
	2	75
	5	79
	5	81
	5	81
	5	76
	3	78
	4	86
	5	86
	5	83

Tableau 111 (Suite)

Bruit des camions en accélération

 Nombre d'essieux	Niveau sonore (en dB(A))	
4	78	·
2	75	
3	81	
5	79	
. 5	86	ı
3	78	r
3	79	
3	83	
5	82	
7	81	
6	85	
2	76	
4	76	
4	84	
2	74	
6	79	
6 .	81	
5	82	
5	75	

Tableau 111 (Suite)

Bruit des camions en accélération

	Nombre d'essieux	Niveau sonore (en dB(A))
	5	82
	4	83
	5	83
	7	80
	6	83
	2	77
	3	83
	5	81
	2	76
	5	81
	5	78
	5	78
	5	80
	5	76
	6	81
	8	80
	5	76
•	5	83
	6	85
	. 5	81

Tableau 111 (Suite)

Bruit des camions en accélération

Nombre d'essieux	Niveau sonore (en dB(A))	
5	88	
5	79	
5	78	
5	82	
5	87	
6	80	
6	86	
6	82	
4	80	

Vitesse des camions: 29 km/h

Tableau 1V

Bruit des camions en accélération

Nombre d'essieux	Niveau sonore (en dB(A))	
5	83	
5	82	
6	75	
3	80	
5	77	
6	75	
2	78	
6	82	
5	81	
5	85	
5	81	
2	78	
6	83	
5	77	
2	73	
6	80	
2	80	
5	85	
. 5	83	

Tableau 1V (Suite)

Bruit des camions en accélération

	Nombre d'essieux	Niveau sonore (en dB(A))	
	3	81	
	6	88	
	8	84	
	5	86	
	5	81	
	6	80	
	5	88	
	2	72	
,	5	85	
	6	78	
	5	78	
	6	88	
	2	80	
	5	81	
	5	83	
	6	83	
	5	80	
	6	77	
•	3	81	
	3	75	

Tableau 1V (Suite)

Bruit des camions en accélération

	Nombre	d'essieux	Niveau sonore (en dB(A))	
		5	82	
	· .	6	80	
	•	2	78	
		6	83	•
		6	89	
		6	82	
		5	78	
•		5	76	
		5	83	
		4	78	
		2	73	
		3	80	•

Tableau V

Bruit des camions en accélération

Nombre d'essieux	Niveau sonore (en dB(A))	
6	87	
2	80	
8	84	
8	86	
5	87	
6	83	
5	85	
5 8	83	
5	88	
5 ′	83	
5	84	
6	83	
5	82	
6	85	
5	86	

Tableau V (Suite)

Bruit des camions en accélération

	Nombre d'essieux	Niveau sonore (en dB(A))
	6	83
	5	92
	5	78
	6 .	85
	5	86
	6	80
	5	85
	5	84
:	5	78
	5	81
	6	90
	2	76
	5	86
	5	81
	. 5	89
	6	87
	3	88
	6	86
	5	81
	5	83

Distance camion-sonomètre: 14 m

Tableau V (Suite)

Bruit des camions en accélération

	Nombre d'essieux	Niveau sonore (en dB(A))
	5	84
	2	84
	3	82
	8	81
	2	. 82
	3	84
	2	75
	5	95
	3	84
	5	89
	5	89
	5	85
	6	92
	5	80
	5	83
	6	86
	5	87
	6	82
	5	84
	2	81
-	5	80
	5	84
	5	80
	. 2	83
	3	85

Tableau Vl Bruit des camions en décélération

Nombre d'essieux	Niveau sonore (en dB(A))
7	77
2	75
5	76
5	73
5	72
. 5	71
5	73
6	75
8	75
5	70
6	76
5	76
6	72
- 5	. 73
6	78
8	72
4	76
6	75

Tableau V1 (Suite)
Bruit des camions en décélération

Nombre d'essieux	Niveau sonore (en dB(A))	
5	76	
5	73	
5	71	
5	78	
4	79	
. 5	76	
5	78	
5	71	
6	68	
6	72	
5	78	•
5	76	
5	73	
5	78	
2	71	
. 2	75	
. 5	73	
4	77	
6	77	
2	77	
5	86	
6	86	

Tableau Vll

Relevé de circulation

SERVICE TECHNIQUE DE LA CIRCULATION RECENSEMENT DES VÉHICULES

ENDROIT

LA PRESENTATION

ROUTE	DISTRICT	COMPTEUR	VOIE
0020	6-1	550	

TRONCON - SECTION 04 040

DATE DU 10 AU 16 JUIN 1979

HEURES	DIMANCHE	LUNDI	MARDI	MERCREDI	JEUDI	VENDREDI	SAMEDI
	I			!			
			~ ~ ~				0.47
1	1052	674	500	459	499	521	846
2	882	395	308	275	330	349	596
3.	549	212	205	203	257	, 239	398
4	340	199	180	167	176	226	264
. 5	159	234	178	224	235	209	237
E	140	533	331	331	395	369	275
7	190	1204	775	777	829	830	531
8	318	1550	1267	1298	1356	1226	818
9	708	1833	1700	1828	1640	1693	1412
10	1154	1641	1675	1768	1568	1558	1859
11	1518	1656	1590	1605	1621	1603	2416
12 .	1699	1647	1443	1400	1431	1611	2307
13	2005	1503	1242	1370	1339	1651	1925
14	2241	1546	1420	1440	1493	1858	2047
15	2076	1658	1556	1639	1585	2401	1973
16	2282	1843	1758	1755	1859	2516	1920
17	2699	1930	1901	2088	2099	2747	1755
18	2682	1753	1785	1861	1939	2787	1587
19	2532	1504	1495	1682	1648	3097	1649
20	2990	1356	1255	1367	1444	3003	1555
21	3196	1013	989	1146	1170	2513	1386
22	2658	824	811	931	984	1850	1010
2 3	2168	817	778	873	928	1379	893
24	1298	626	701	773	724	1230	1105
TOTAL	37536	28151	25843	27260	27549	37466	30764
% JR. MOYEN HEBDOMADAIRE	122.4	91.8	84.3	88.9	89.8	122.2	100.3
MOYENNE HEBDOMADAIRE	30652	FA	CTEUR DE CO	RRECTION	1.00		
HEURE MAXIMA	3196 21	1	3097	19 6	3003	20 6	

79/11/16

										·					
India:	Yn	isent	ation			<u></u>			Route	20		st.0) ————————————————————————————————————	
10 - 80	Jour	Mino	udi			OG -	10-80) <u>.</u>	Par	S	Rat	4			
D,65 Var				, d	le la	nou	te 13	37				1			
nd almospherique	161.			N	^c station		•		Enum	erateur	ł.	M.B			
DIRECTIONS			Pricer	Sate	ח חיים	u St	- Hya	cen t	he			ي ع			
HEURES		i .	1 1			1	1 (/ 1			3/n-4/n.	りもっ	The leban	(h 7i	101.	%
Québec	1.	405	370	262	237	311	141	57	35	31	29	82	212	2172	(76
Extérieur	2														
Avec Remorque	3	3	6	3	3	4	5	2	2	2	1	6	6	43	1,31
utobus scolaires	4	1											1	2	0,0
Autobus publics	5	1	1	2	3.	8	2	1		1		3		23	0,7:
1 unité 2 essieux	6	28	17	12	9	8	6	2	4	8	5	20	38	157	4,9
3	7	4	2	1)	2	3	1	1	3	3	5	7	33	1,0
4	8 .														
2 unités 3 essieux	9	2	·	2		1	·	2.				1	1	7	0,2
z · · · 4 · ·	10	11	12	7	9	6	5	8	3	3	6	3	8	81	<u>2,5</u> ²
5	11	32	43	52	57	60	44	43	28	38	29	50	45	521	167
₹ 6	12	14	19	12	13	9	11	9	4	8	12	16	12	139	4,3
3 unités 5 essieux	13													1	0,0
6	14									1	1			2	0,0
7	15)		1			1		1	4	0,1.
8	16	3			1	3		1		2	1	<u> </u>	2	13	0,4
9	17														
uipements lourds aison mobile-préf.	18		-												
Equipements de ferme	19					<u> </u>	·	,							<u> </u>
motos	20	1	5			1							1	8	0,2:
24 wite 7 Essey	21					3			<u>.</u>					3	0,0
V E	22						ļ						<u> </u>	 	
	23	ļ		ļ			<u> </u>				· ·				
Total		505	775	B53	333	417	217	125	77	97	88	187	335	3209	100
V 47 (80-02)										•					

Tableau VIII

Bruit moyen en fonction de la vitesse et du nombre d'essieux

Nombre d'essieux	Vitesse (en.km/h)	Bruit moyen (en dB(A))	
2	5 .	80,1	,
2	15	76,5	
2	29	75,0	
2	43	78,9	•
3	5	84,6	
3	15	79,4	
3	29	:81-,8	•
3	43	80,0	
4	15	78,0	:
4	29	80,0	
4	43	79,0	
5	15	84,5	
5	15	21,7	
5	29	80,7	
5	43	80,9	•
6	5	85,3	
6	15	81,5	
6	29	82,8	
6	43	82,5	
7 '	29	80,5	
7	43	81,6	

Tableau VIII (Suite)

Bruit moyen en fonction de la vitesse et du nombre d'essieux

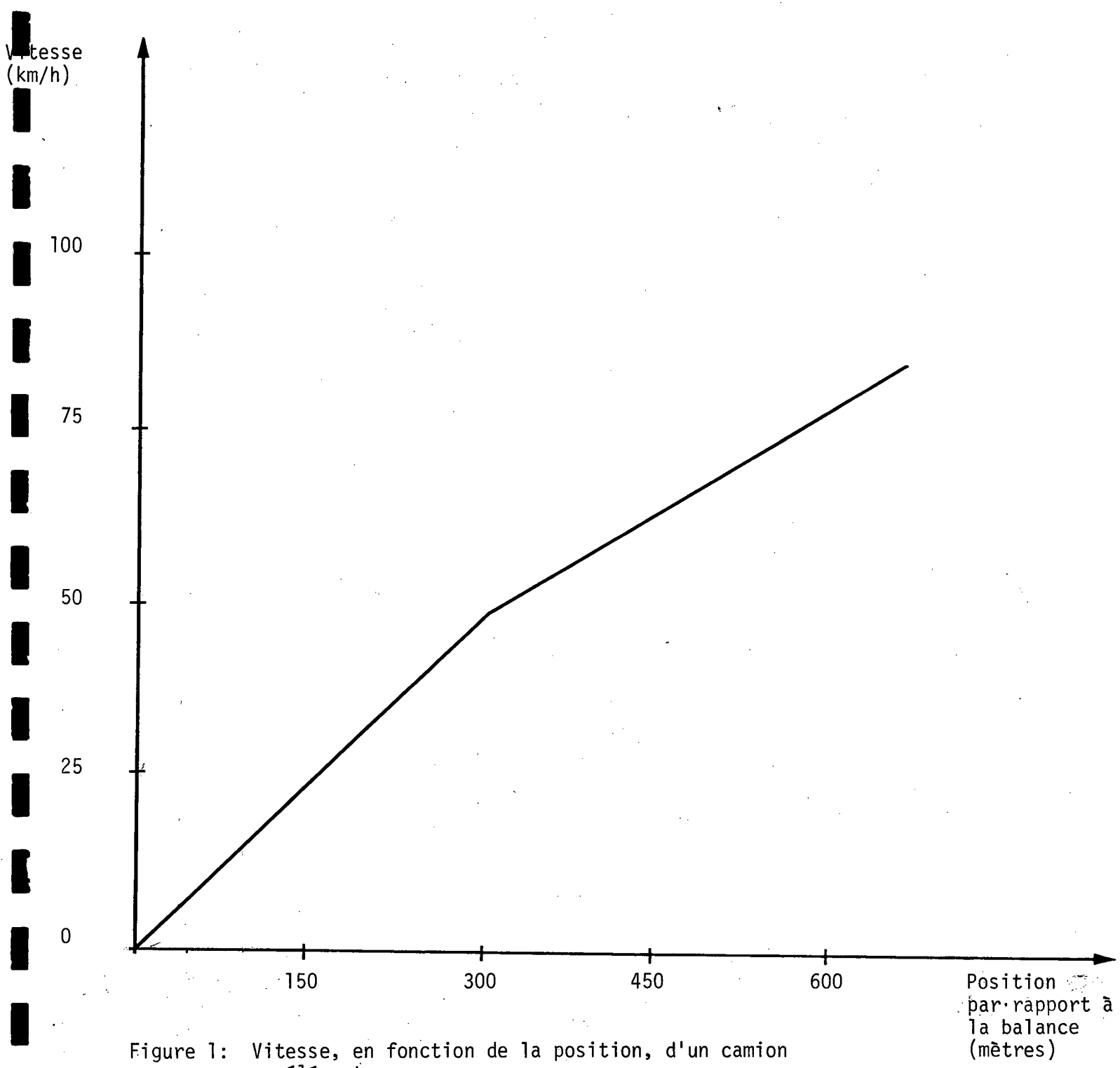
Nombre d'essieux	Vitesse (en km/h)	Bruit moyen (en dB(A))	
8	5	83,5	
8	. 15	84,0	
8	29	80,0	
8	43	81,4	
Toute	5	84,1	
catégorie	15	80,6	
	29 .	80,5	
	43	80,9	

Tableau IX
Relevé sonore fait sur le terrain

Heure		Niveau sonore (en dB(A))	Nombre de camións à l'heure
8-9	Poste fermé	65,0	
9-10	Poste ouvert	63,2	121
10-11	Poste ouvert	64,7	133
11-12	Poste ouvert	64,4	109
12-13	Poste fermé	61,2	
13-14	Poste ouvert	63,3	96
14-15	Poste fermé	61,2	
15-16	Poste fermé	63,9	

Tableau X
Bruit généré par le poste de pesée

Nombre de camions à l'heure	Niveau sonore (en dB(A))	
121	60,6	:
133	64,4	
109	65,7	
96	64,8	



Vitesse, en fonction de la position, d'un camion accélérant Figure 1:

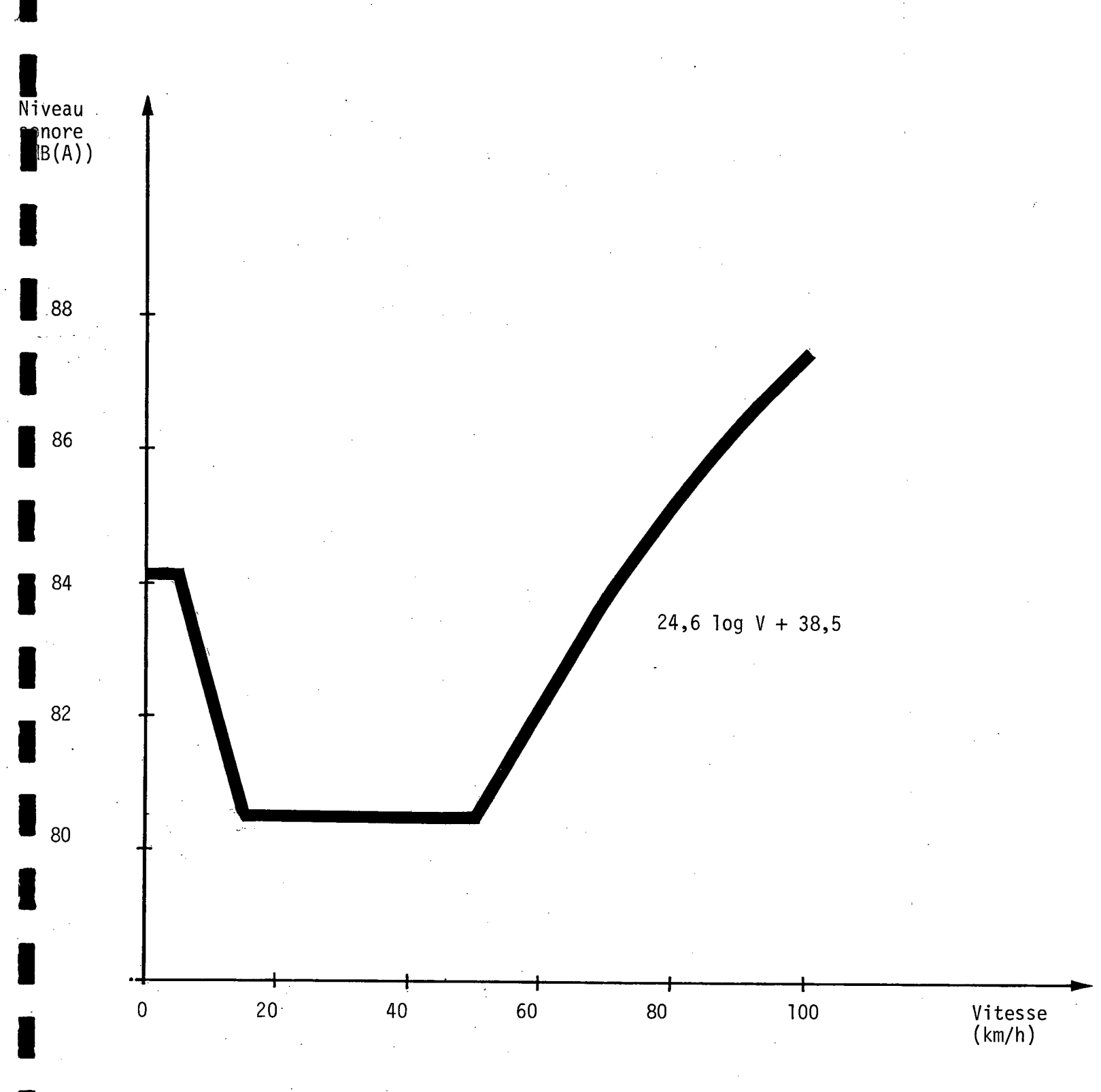


Figure 2: Bruit en fonction de la vitesse d'un camion durant l'accélération

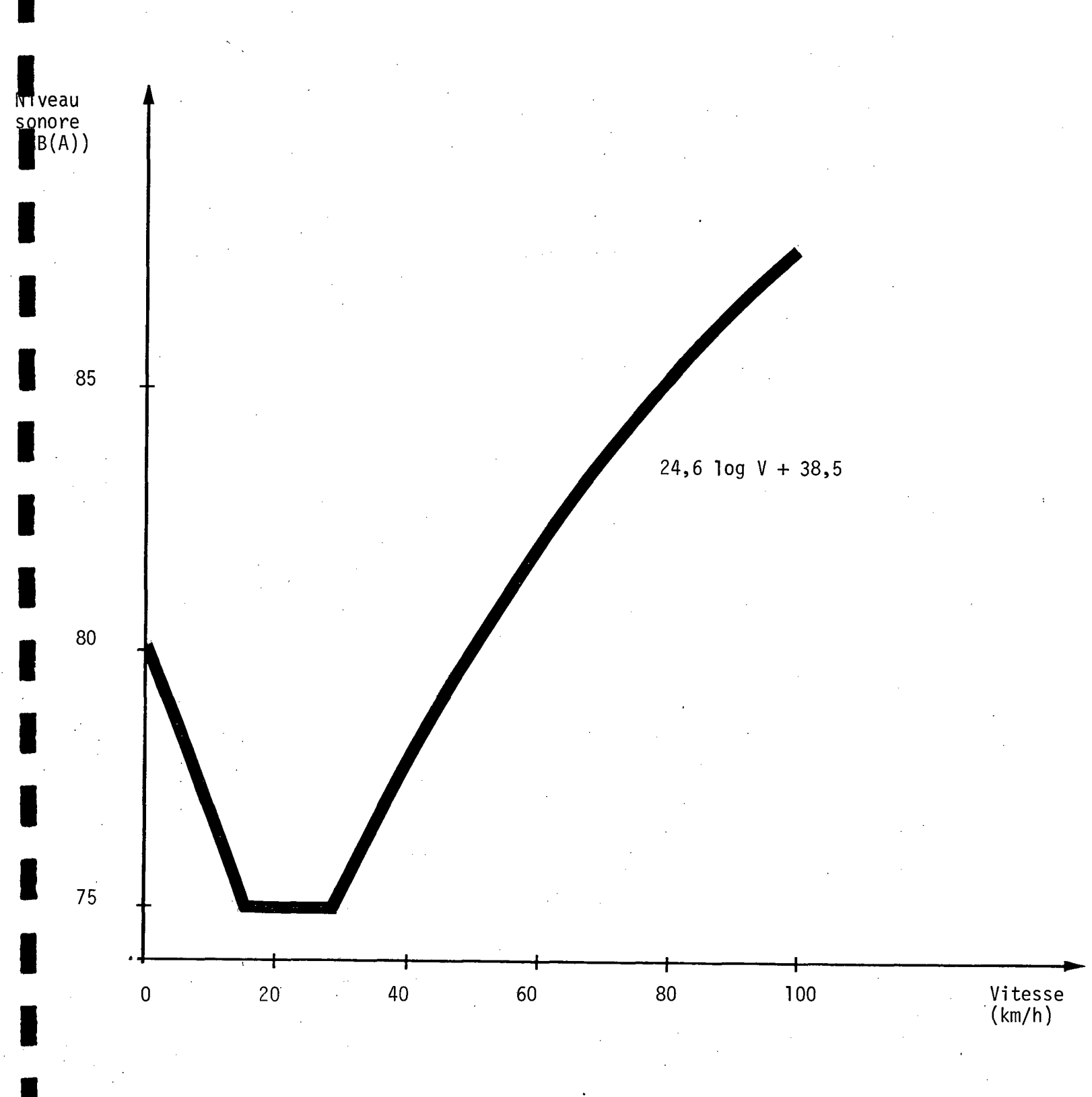


Figure 3: Bruit en fonction de la vitesse d'un camion durant la décélération

Bibliographie

- 1. "FHWA Highway traffic noise prediction model", report no FHWA-RD-77-108, Federal Highway Administration, Washington D.C. 20590, Decembre 1978.
- 2. "Coding forms and instructions for Stamina 1,0 Highway traffic noise prediction model program", report no FHWA-DP-45-5, Federal Highway Administration, Washington, D.C. 20590, December 1980.
- 3. "User's manual: FHWA level 2 Highway traffic noise prediction model, Stamina 1,0", report no FHWA-RD-78-138, Federal Highway Administration, Washington, D.C. 20590, May 1979.
- 4. "Fortran with engineering applications", Daniel D. Mc Cracken, John Wiley and sons, inc., New-York, London, Sidney, 1967, 237 pages.

Annexe A: Modèle: prédiction du niveau sonore produit par les camions d'un poste de pesée

Le modèle se compose d'un programme principal, contenant cent soixante-et-une lignes; et de quatre sous-programmes Function: SQR(X), ABS(X), COSALE et INTEG. Le tableau A-1 présente une brève description du rôle des différentes lignes du programme principal.

On peut calculer le niveau sonore régnant à une position particulière en appliquant l'équation (1). Il faut considérer les segments de route l'un après l'autre; chaque segment de route est lui-même subdivisé en petits éléments sous-tendus par l'angle sur lequel on fait la sommation: 0,01 degré; on suppose que la vitesse est constante sur chacun de ces petits éléments de route.

Pour pouvoir faire l'addition du bruit généré par les petits éléments de route, il faut tenir compte des trois dispositions possibles des segments de route par rapport au système de coordonnées: il y a le cas où la pente du segment est infinie, c'est-à-dire qu'il est parallèle à l'axe des y; il y a le cas où la pente est nulle: segment parallèle à l'axe de x; et il y a les autres cas où la pente prend une valeur finie positive ou négative: segment oblique.

Chacun desces trois cas doit être traité différemment; c'est la raison d'être des trois blocs d'instructions: lignes 55 à 79, lignes 80 à 102 et lignes 103 à 135. Chaque bloc d'instructions arrive au même résultat, à savoir le calcul des coordonnées des petits éléments de route à partir de l'angle qu'ils sous-tendent.

Après que les coordonnées d'un élément sont connues, on peut calculer la vitesse correspondante et choisir, à partir des figures 2 et 3, le bruit instantané pour ensuite appliquer l'équation (1) déterminant le bruit généré par ce petit élément de route.

On répète le processus jusqu'à ce qu'on ait couvert un segment de route d'un bout à l'autre. On passe ensuite au segment suivant et on recommence la sommation des petits éléments. On procède ensuite jusqu'à ce que le bruit provenant de chaque segment de route ait été comptabilisé pour un observateur donné.

On peut ensuite refaire le même traitement pour un autre observateur pour pouvoir connaître le niveau sonore équivalent qui y règne.

Les fonctions COSALF et INTEG permettent, par le calcul numérique d'une intégration, d'évaluer $\psi_{\bf k}$, la fonction d'atténuation.

Voilà essentiellement le fonctionnement du programme; il y a, bien sûr, quelques lignes supplémentaires permettant la lecture des données et l'impression des résultats.

Pour avoir plus d'explications sur l'équation de base, prière de consulter le rapport de la FHWA (1) dans lequel chaque terme de cette équation est explicité et illustré par un exemple.

```
FORTRAN IV G1 RELEASE 2.0.
                                               MAIN
                                                                     DATE = 83206
                                                                                               10/44/40
 0001
                            EXTERNAL CUSALF, INTEG
 0002
                            CUMMON ALPHA, DELTA
                            INTEGER FLAG
 0003
                            DOUBLE PRECISION COEF, PUIS (250), PI
 0004
 0005
                            REAL M, LEG (250), LZERO, INTEG
                            DIMENSION XI(25), Y1(25), X2(25), Y2(25), CM(25), CB(25), X0(250), Y0(250
 0006
                          *), 1 TYPE(25), COMM(250, 10)
                           P1=3.1415926536
 0007
 0008
                            READ(5.1) NSEG
 0009
                         1 FORMAT(15)
 0010
                            DO 20 I=1.NSEG
                            ŘEAD(5,2) x1(1),Y1(1),X2(1),Y2(1),CM(1),CB(1),ITYPE(1)
 0011
 0012
                         2 FURMAT (6F10,0,11)
 0013
                        20 CONTINUE
                            READ(5,1) NOBS
 0014
                            DO 30 N=1, NOBS --
 0015
                        READ(5, 26) XO(N), YU(N), (COMM(N, J), J=1,10)
26 FORMAT(2F10.0, 20x, 10A1)
 0016
 0017
 0018
                         3 FORMAT (2F10.0)
                        30 CONTINUE
 0019
 0020
                            READ (5.1) NO
                            READ(5,3) DEL, ALPHA
 0021
 0055
                            SIGMA0=2.0
                            WRITE (6.6)
 0023
                         6 FORMAT (1H1, 'PREDICTION DU NIVEAU SONORE PRODUIT PAR LES CAMIONS D
*UN POSTE DE PESEE',/,20x,'(SYSTEME INTERNATIONAL D'UNITE)',///)
 0024
 0025
                            DO 40 I=1.NSEG
 0026
                            WRITE (6,7) I
                         7 FURMAT(5X, SEGMENT DE ROUTE # 1,12)
IF(ITYPE(I).EQ.1) WRITE(6,27)
 0027
 0028
 0029
                        27 FORMAT (1H+, 29x, 'ACCELERATION', /)
 0030
                            IF (ITYPE (I) .EQ. 0) WRITE (6, 28)
                        28 FORMAT (1H+, 29X, DECCELERATION', /)
 0031
                            WRITE (6,8) X1(1), X2(1), Y1(1), Y2(1)
 0032
                         8 FURMAT(10X, 'X1: ', F7.2, 8X, 'X2: ', F7.2, /, 10X, 'Y1: ', F7.2, 8X, 'Y2
 0033
                          *: ',F7.2)
                         WRITE(6,9) CM(T), CB(T)
9 FORMAT(10X, VITESSE DES CAMIONS SUR LE SEGMENT : ','V= ',F6.2,'*R
 0034
 0035
                          *+ ',F6.2,///)
 0036
                        40 CONTINUE
 0037
                            WRITE (6, 11)
 0038
                        11 FORMAT(1H1,5x,'OBSERVATEURS',/,20x,'X',13x,'Y')
                           DO 50 N=1, NOBS
 0039
                            WR1TE(6,12) (COMM(N,J),J=1,10),X0(N),Y0(N)
 0040
 0041
                        12 FURMAT (7X, 10A1, F7, 2, 7X, F7, 2)
                        SO CONTINUE
 0042
 0043
                            WRITE (6, 13) NC
                        13 FORMAT (/, 5x, 'NOMBRE DE CAMIONS A L. HEURE : 1,15)
WRITE(6,14) DEL
 0044
 0045
                        14 FORMAT(5x, ANGLE (EN DEGRE) SUR LEQUEL 1,/,5x, ON FAIT LA SOMMATIO *N', 6x, ':', F7, 2)
 0046
                            WRITE(6,25) ALPHA
 0047
                        25 FURMAT(5X, COEF. D ATTENUATION (ALPHA) : ',F.7.2)
DELTA=DEL *3.1415926536/180
 0048
 0049
                            WRITE(6,22)
 0050
                        22 FORMAT (1HI,5x,'NIVEAUX SONORES CALCULES',///,7x,'OBSERVATEURS',15x
*,'COORDONNES',20x,'LEG',/,33x,'X',10x,'Y',19x,'DB(A)')
 0051
 0052
                            DO 500 N=1, NOBS
```

```
FORTRAN IV G1
                RELEASE 2.0
                                          MAIN
                                                             DATE = 83206
                                                                                    10/44/40
 0053
                         PUIS(N)=0.0
 0054
                        DO 400 I=1.NSEG
 0055
                         IF(X1(I).NE.X2(I)) GO 10 201
 0056
                         FLAG=1
 0057
                        XINT=XI(I)
 0058
                         (N)OY=TNIY
 0059
                         D = ABS(XO(N) = XI(I))
                        IF(D.LT.15.) GO TO 500 (COMM(N,J),J=1,10),X0(N),Y0(N)
 0060
 0061
                     29 FÜRMÄT (12X, 10A1, 8X, F7, 2, 4X, F7, 2, 15X, 'D < 15 M')
TETA=ATAN ((Y1(I)-YINT)/D)
 0062
 0063
                         xM = x1(I)
 0064
                        YM=Yi(1)
 0055
 0066
                    100 TETA=TETA+DELTA
 0067
                         X = X1(1)
                        ÎANG=(D/(PI/2-ABS(TETA)))*TETA/ABS(TETA)
IF(ABS(TETA).LT.1.5706963268) TANG=D*TAN(TETA)
 0068
 0069
 0070
                         Y=TANG+YINT
 0071
                        IF(Y.LT.Y2(I)) GO TO 101
                        X = X \ge (I)
 0072
                    101 V=CM(I)*((Y+YM)/2-Y1(I))+CB(I)
 0073
 0074
                        IF(ITYPE(1).EQ.1) GO TO 250
 0075
                        IF(ITYPE(I), EQ. 0) GO TO 260
 0076
 0077
                         WRITE (6,24) I
                     24 FORMAT (5%, 'ERREUR DANS LA DONNEE DU SEGMENT # 1,12)
 0078
                         SIDP
 0079
 0080
                    201 IF(Y1(I), NE, Y2(I)) GD TO 301
 0081
                        FLAG==1
 0082
                        XINT=XO(N)
 0083
                         YINT=Y1(I)
 0084
                        IF(D.LT.15.) WRITE(6,29) (COMM(N,J),J=1,10),X0(N),Y0(N)
IF(D.LT.15.) GO TO 500
TETA=ATAN((X1(1)-XINT)/D)
                         D=ABS(YO(N)-Y1(I))
 0085
 0086
 0087
 0088
                         XM=X1(I)
 0089
                         YM=YI(I)
 0090
                    200 TETA=TETA+DELTA
                         TANG=(D/(PIZZ-ABS(TETA)))*TETA/ABS(TETA)
 0091
                        IF (ABS (TETA) .LT. 1.5706963268) TANG=D*TAN(TETA)
 0092
 0093
                        X=TANG+XINT
                         Y = Y1(I)
 0094
                        İF(X)Lf.x2(I)) GO TO 202
 0095
 0096
                         x = x \ge (1)
 0097
                         Y=YZ(I)
                    202 V = CM(\bar{I}) * ((X + XM)/2 = X1(I)) + CB(I)
 0098
                        IF (ITYPE(1).EQ.0) GO TO 260
WRITE(6,24) I
 0099
 0100
 0101
                         STOP
 0102
                    301 FLAG=0
 0103
                         M = (Y2(I) - Y1(I)) \times (X2(I) - X1(I))
 0104
                        B=(x2(1)*Y1(1)-x1(1)*Y2(1))/(x2(1)-x1(1))
 0105
                        XINT = (M*YO(N) + XO(N) - M*B) / (M*M+1).
 0106
                         YINT=M*XINT+B
 0107
                        D=SQRT(SQR(XO(N)=XINT)+SQR(YO(N)=YINT))
IF(D.LT.T5.) WRITE(6,29) (COMM(N,J),J=1,10),XO(N),YO(N)
 0108
 0109
 0110
                         IF(D.LT.15.) GO TO 500
```

```
FORTRAN IV G1 RELEASE 2.0
                                                                                          DATE = 83206
                                                             MAIN
                                                                                                                           10/44/40
                                 TETA=ATAN(SQRT(SQR(X1(I)=XINT)+SQR(Y1(I)=YINT))/D)*(X1(I)=XINT)/AB
 0111
                                   \star S(XI(I) - XINI)
 0112
                                    XM=X1(I)
 0113
                                    YM=Y1(1)
                              300 TETA=TETA+DELTA
 0114
 0115
                                    TANG=(D/(P1/2-ABS(TETA))) *TETA/ABS(TETA)
                                    IF (ABS (TETA) .LT. 1.5706963268) TANG=D*TAN (TETA)
 0116
 0117
                                    A1=1+M*M
 0118
                                    A2=2*M*B=2*M*YINT=2*XINT
 0119
                                    A3=SUR(XINT)+SOR(YINT)+SOR(B)=2*B*YINT=SOR(TANG)
 0120
                                    A4=SQR(A2)-4*A1*A3
                               IF (A4.LT.O.) WRITE (6.31) (CUMM(N.J).J=1.10).XO(N).YO(N)
31 FORMAT (12X,10A1,8X,F7.2,4X,F7.2,15X, ARG DE SORT LT 0)
 0121
 0155
                                    IF (A4.LT.0) GU TO 500
x=(-A2+(TETA/ABS(TETA))*SURT(A4))/(2*A1)
 0123
 0124
 0125
                                    IF(X.LT.x2(I)) GO TO 302
 0126
 0127
0128
                                    X=X2(I)
Y=Y2(I)
 0129
                              302 RP=SORT(SOR(X+X1(I))+SOR(Y+Y1(I)))
 0130
                                    RM=SQRT(SWR(XM=X1(I))+SWR(YM=Y1(I)))
 0131
                                    V=CM(I)*(RP+RM)/2+CB(I)
                                    IF(ITYPE(I) EG. 1) GO TO 250
IF(ITYPE(I) EG. 0) GO TO 260
WRITE(6,24) I
 0132
 0133
 0134
 0 i 35
                                    STOP
                             250 IF(V.LT.0.5) LZERO=7.
IF(V.LT.0.5) V=0.5
 0136
 0137
                                    IF (V.GT.0.5.AND.V.LE.5.) LZERO=8.41
IF (V.GT.5.AND.V.LE.15.) LZERO=8.59-0.036*V
IF (V.GT.15.AND.V.LE.50.) LZERO=8.05
IF (V.GT.50.) LZERO=3.85+2.46*ALOG10(V)
GO TO 270
 0138
 0139
 0140
 0141
 0142
                             260 IF(V.LT.0.5) LZERO=7.

IF(V.LT.0.5) V=0.5

IF(V.GT.0.5.AND.V.LE.15.) LZERO=8.-0.033333333*V

IF(V.GT.15.AND.V.LE.30.) LZERO=7.5

IF(V.GT.30.) LZERO=3.85+2.46ALOG10(V)

270 COEF=LZERO+0.0115*SQR(SIGMAO)+DLOG10(NC*4.3982297148D=2/V)+(1+ALPH
 0143
 0144
 0145
 0146
 0147
 0148
                                  *A)*DLUGIO(1,4D1/D)+DLOGIO(INTEG(TETA,COSALF)/PI)
PUIS(N)=PUIS(N)+10**COEF
 0149
 0150
                                    XM = X
 őiśi
                                    YM=Y
                             IF(X.NE.X2(I).AND.FLAG.EQ.0) GO TO 300
IF(X.NE.X2(I).AND.FLAG.EQ.-1) GO TO 200
IF(Y.NE.Y2(I).AND.FLAG.EQ.1) GO TO 100
400 CONTINUE
 0152
 0153
 0154
 0155
 0156
0157
                                    LEG(N)=10*DLOG10(PUIS(N))
                               ARTTE(6,23) (COMM(N,J),J=1,10),X0(N),Y0(N),LEQ(N)
23 FORMAT(12X,10A1,BX,F7.2,4X,F7.2,15X,F6.2)
 0158
                              500 CONTINUE
 0159
 0160
                                    STOP
 0161
                                    END
```

	FURTRAN IV G	1 RELEASE	2.0	SQR	DATE = 83206	10/44/40
	0001 0002 0003 0004		FUNCTION SQR(X) SQR=X*X RETURN END			·, ·.
		·				<i>i</i> .
				· · · · · · · · · · · · · · · · · · ·	en e	
					and the second s	e en
AUTOREPORT					Andreas (1996) (1997) (
A(a'r, AU			· · · · · · · · · · · · · · · · · · ·			
				THE THE TEN AND THE	and the second s	THE REPORT OF THE PROPERTY OF
				The second secon		
		· ·		The state of the s		
				. The second section of the section of		A TOTAL OF A CONTRACTOR OF MANAGEMENT AND AN ARRANGEMENT OF A CONTRACTOR OF A
					•	

	• •	GI	RELEASE	2.0		ABS		DATE =	83206		10/44/4	0	
0001 0002 0003 0004				FUNCTION IF (X.GE. IF (X.LT. RETURN END	N ABS(X) (0.) ABS: (0.) ABS:	= X = - X							
0005				ENU						,			
						,							
								· · · · · · · · · · · · · · · · · · ·					
				•							•		
					ca was in it form	us populare en esta a subserior e	TOWN AND THE TOWN	e e wee	e e ac ac e	alabor selection	The second second second	,	
									·				
····				*****						m-v			
					e are in the same	ur i Sir har ar yar iyar i	we is a second water			• • • • • •			
	`			•					w			·.	
				•				· · · · · · · · · · · · · · · · · · ·	#			·	
					· · · · · · · · · · · · · · · · · · ·								
				•				2					
					· · · · · · · · · · · · · · · · · · ·								
									· · · · · · · · · · · · · · · · · · ·				
									· · · · · · · · · · · · · · · · · · ·				
									· · · · · · · · · · · · · · · · · · ·				
								AM SIL MAA M AA	· · · · · · · · · · · · · · · · · · ·				
								APA SOL 184 / 18 APA					
						o a second contract of the second contract of		APA SOL 184 / 18 APA			:		
		•						APA SOL 184 / 18 APA					

FURIKA	N IV G1	RELEASE	5.0	COSALF	DATE = 83206	1	0/44/40	
0001 0002 0003 0004			FUNCTION COSACOMMON ALPHA, COSALF=COS(TEREJURN	ALF(TETA) ,DELTA ETA)**ALPHA				
0005			END			*		
					en e			· · · · · · · · · · · · · · · · · · ·
		· · · · · · · · · · · · · · · · · · ·						
			· · · · · · · · · · · · · · · · · · ·	·	and the second of the second o		• • • · · ·	
				and the second s	• • • • • • • • • • • • • • • • • • •	.	and a second of the	
			·	· · · · · · · · · · · · · · · · · · ·				
	•	· · · · ·	· · · · · · · · · · · · · · · · · · ·		and the second s	÷	· ·	
	•	•		. Problem that we is a the administration	a mari ini, adi NiNi ini dire ili manada dan menada ini.		16. i	and the second of the second o
		<u> </u>						
	·						and a gram field relativistic formula of the same of	and the second s
					· · · · · · · · · · · · · · · · · · ·			
					Commission and the Commission of the Commission			

FORTRAN 1	V G1	RELEASE	5.0	INTEG	DATE = 83	206	10/44/40	
0001 0002 0003 0004			COMMON ALPHA H=DELTA/2. N=1		•			
0005 0006 0007 0008 0009 0010 0011		25	TWO=0, FOUR=FUNC(A+ OLDINT=H/3,* H=H/2, N=2*N TWO=TWO+FOUF FOUR=0,	(ENDS+4, *FOUR)		.		. ⁷ 6
0013 0014 0015			T=A+H DO 26 I=1,N FOUR=FOUR+FL	INC(T)		··.		
0016 0017 0018 0019 0020		26	T=T+H+H INTEG=H/3.*(IF(ABS(OLDIN OLDINT=INTEG GO TO 25	ENDS+2.*TWU+4.*F(OUR) 5.OR.N.GT.10000) RETURN		
0016 0017 0018 0019		26	T=T+H+H INTEG=H/3.*(IF(ABS(OLDIN OLDINT=INTEG	ENDS+2.*TWU+4.*F(OUR) 5.OR.N.GT.10000) RETURN	1	
0016 0017 0018 0019 0020		26	T=T+H+H INTEG=H/3.*(IF(ABS(OLDIN OLDINT=INTEG GO TO 25	ENDS+2.*TWU+4.*F() RETURN		
0016 0017 0018 0019 0020		26	T=T+H+H INTEG=H/3.*(IF(ABS(OLDIN OLDINT=INTEG GO TO 25	ENDS+2.*TWU+4.*F(
0016 0017 0018 0019 0020		26	T=T+H+H INTEG=H/3.*(IF(ABS(OLDIN OLDINT=INTEG GO TO 25	ENDS+2.*TWU+4.*F(
0016 0017 0018 0019 0020		26	T=T+H+H INTEG=H/3.*(IF (ABS (OLDIN OLDINT=INTEG GO TO 25 END	ENDS+2.*TWU+4.*F(

.

u

```
SEGMENT DE ROUTE # 1
                       ACCELERATION
                        X 2 :
                             300.00
     X1:
    Ŷ1 : 0.0 
VITESSE DES CAMIONS SUR LE SEGMENT : V= -0.10*R + 78.00
SEGMENT DE ROUTE # 2
                       ACCELERATION
                       X 2 :
          500.00
                             495.00
    ŶĬ : 10.00 ŶŹ : 715.00
VITESSE DES CAMIONS SUR LE SEGMENT : V= -0.16*R + 48.00
SEGMENT DE ROUTE # 3
                       ACCELERATION
    SEGMENT DE ROUTE # 4
                       DECCELERATION
          600.00
                        X 2 :
                             710.00
    ŶĬ ĬŠ.ÕÕ ŸŽ Ĭ ĬŠ.ÕÕ
VITESSE DES CAMIONS SUR LE SEGMENT : V= 0.17*R + 0.0
SEGMENT DE ROUTE # 5
                       DECCELERATION
    0.16 \times R + 18.00
SEGMENT DE ROUTE # 6
                       DECCELERATION
          905.00
                       X2: 1145.00
Y2: 0.0
    ŶĬ : 10.00
VITESSE DES CAMIONS SUR LE SEGMENT : V=
                                            0.13 \pm R \pm 49.00
             1
```

0.01

Tableau A-l

Contenu du programme de simulation

Numéro de ligne	Description
1-7	Déclaration et initialisation des
1-7	variables
8-22	Lecture des données
23-51	Ecriture des données
52	Début de la boucle calculant le niveau sonore pour chaque observateur
54	Début de la boucle calculant la contri- bution de chaque segment de route au le _g
55-79	Bloc d'opérations à effectuer dans le cas où la pente du segment de route est infinie
80-102	Bloc d'opérations à effectuer dans le cas où la pente du segment de route est nulle
103-135	Bloc d'opérations à effectuer dans le cas où la pente du segment de route est quel- conque
136-142	Choix du niveau sonore instantané en fonc- tion de la vitesse du camion en accéléra- tion
143-147	Choix du niveau sonore instantané en fonc- tion de la vitesse du camion en décéléra- tion
148-151	Sommation de contributions des segments de route au niveau sonore général
152-154	Test pour vérifier si le segment de route a été considéré dans son entier.
155	Fin de la boucle du calcul pour chaque segment.

Tableau A-l (Suite)

Contenu du programme de simulations

Numéro de ligne	Description
156-58	Calcul et écriture du niveau sonore équi- valent associé à la position d'un obser- vateur
159	Fin de la boucle de calcul pour chaque observateur.

Liste des variables utilisées dans le programme

```
Alpha
Delta
Flag
Coef
Puis (250)
PI
M,B
Le_{q}(250)
L Zero
Integ
XI (250), Y1 (250), ZI (250)
X2 (250), Y2 (250), Z2 (250)
CM (25), CB (25)
XO (250), YO (250)
I Type (25)
Comm (250,10)
Nseg
Nobs
NC
Del
Sigmao
Xint, Yint
D
Teta
XM, YM
Tang
Χ, Υ
A1, A2, A3, A4
RP, RM
I, J, N
```

Liste des fonctions utilisées dans le programme

SQR (X)

ABS (X)

COSALF

INTEG

Annexe B: Simulation du poste de Beloeil

Le schéma de la figure B-l représente le poste de pesée de Beloeil. On peut noter que les voies d'accélération et de décélération ont été approximées par des segments de route rectilignes; il y a six segments au total. Un système d'axes a été tracé; sa position est arbitraire mais il est commode de le choisir de façon à ce que l'axe des X soit dans le sens de la longueur du poste.

En plus d'approximer les voies d'accélération et de décélération par des bouts de route droits, il faut choisir ces segments de façon à ce que les camions accélèrent ou bien décélèrent sur toute la longueur du segment; en d'autres termes, on ne peut choisir un segment de route tel que sur la première partie, les camions décélèrent alors qu'ils accélèrent sur la deuxième partie. On peut définir un maximum de quinze segments de route.

Pour chacun des segments choisis, il faut définir les paramètres suivants: les coordonnées (X,Y) du premier point du segment, les coordonnées du dernier point du segment, les deux valeurs décrivant le profil de vitesse sur ce segment, et un paramètre indiquant au programme que le segment fait partie de la voie d'accélération ou bien de décélération.

Les coordonnées des deux points extrêmes de chaque segment se mesurent par rapport au système d'axes; il est à noter qu'on doit fonctionner en mètres. Le premier point correspond à celui dont la coordonnée X est la plus petite.

Etant donné que la vitesse n'est pas constante sur un segment de route, il faut décrire le profil de vitesse par un équation linéaire selon une coordonnée longitudinale au segment. Pour ce faire, on se base sur la figure l, autant pour les segments où les camions accélèrent que pour ceux où ils décélèrent; il s'agit de trouver la vitesse des véhicules pour les deux points extrêmes de chaque segment. Par exemple, le premier point du deuxième segment est situé à trois cents mètres du centre de la balance; la figure l nous donne une vitesse de cinquante km/h; le dernier point du même segment est à deux cents mètres du centre de la balance, la vitesse est donc de trentetrois km/h. Il faut maintenant déterminer les valeurs de la coordonnée longitudinale; le premier point a toujours une coordonnée nulle; pour trouver la valeur de la coordonnée du dernier point, il s'agit de mesurer la longueur réelle du segment, en mètres; ceci correspond à la coordonnée du dernier point.

Nishd. 7

Dans notre exemple, le segment mesure cent mètres; on a donc les coordonnées suivantes: zéro mètre où la vitesse est cinquante km/h et cent mètres où la vitesse est trente trois km/h; on peut calculer l'équation de la vitesse en fonction de la coordonnée longitudinale pour ce segment. On a les deux points suivants: (0,50) et (100,33) la pente est donc $(13-50)/(100-0) \neq 0$, 37. Il faut aussi calculer l'ordonnée à l'origine; l'ordonnée est((50X100) - (13X0))/(100-0) = 50. Si on appelle R la coordonnée longitudinale, l'équation de la vitesse sur notre segment est donc V=0, 37 X R+50; les deux valeurs décrivant le profil de vitesse sont donc 0, 37 et 50. Il est important de remarquer que la première valeur correspond au coefficient de R, ou la pente; tandis que la deuxième correspond à l'ordonnée à l'origine; l'ordre est important.

Il y a enfin un septième et dernier paramètre permettant au programme de savoir si le segment en question en est un sur lequel les camions accélèrent ou décélèrent. Si ce dernier paramètre vaut zéro, les camions décélèrent sur ce segment; s'il vaut un, les camions accélèrent.

Pour chaque segment, il faut définir ces sept paramètres. Il faut les inscrire dans l'ordre suivant sur la carte perforée: coordonnée X du premier point, coordonnée y du premier point, coordonnée X du dernier point, coordonnée y du dernier point, pente de l'équation de vitesse, ordonnée à l'origine de l'équation de vitesse, paramètres accélération ou décélération.

Après avoir défini les segments de route, il faut choisir les observateurs, c'est-à-dire les endroits où on veut connaître le niveau sonore. On peut placer ces observateurs n'importe où aux alentours du poste en autant qu'ils sont situés à une distance supérieure à quinze mètres mesurée perpendiculairement à tout segment de route ou à leur prolongement. Si on place des observateurs à moins de quinze mètres, le programme ne calculera pas le niveau sonore pour ces observateurs. On peut spécifier jusqu'à deux cents cinquante observateurs.

On définit les observateurs en spécifiant leurs coordonnées (X,Y) mesurées par rapport au système d'axes; de plus, on peut numéroter les observateurs pour pouvoir les repérer plus facilement.

On doit aussi indiquer au programme le nombre de segments de route, le nombre d'observateurs, le nombre de camions qui passent dans le poste pendant une heure. Il faut aussi spécifier l'angle, en degré, sur lequel on fait la sommation, de même qu'un paramètre d'atténuation; il semble que des valeurs de un centième de degré (0,01) pour l'angle et de trois dixième (0,3) pour l'atténuation donne des résultats satisfaisants lorsqu'on compare les résultats de la simulation aux relevés sonores effectués sur le terrain.

Pratiquement, on entre les données sur cartes perforées. L'ordre est le suivant: première carte: nombre de segments; ensuite autant de cartes qu'il y a de segments: sur chaque carte, on indique les sept paramètres caractérisant le segment; carte suivante: nombre d'observateurs; ensuite autant de carte qu'il y a d'observateurs: sur chaque carte, on indique les coordonnées de l'observateur de même qu'un numéro pour le retrouver plus facilement; carte suivante: nombre de camions à l'heure; carte suivante et dernière: angle de sommation: 0,01, et paramètre d'atténuation: 0,3. La figure B-2 présente une feuille de codifications destinée à perforer les cartes contenant les données correspondant à la simulation du poste de Beloeil.

Il est possible que, pour certains observateurs, le programme soit impuissant à calculer le niveau sonore à cause de considérations géométriques; à ce moment, il indiquera "ARG DE SQRT LTO".

Il a été mentionné précédemment qu'on ne peut pas placer d'observateurs à une distance inférieure à quinze mètres d'un segment de route ou de son prolongement, si on le fait, le programme fera le commentaire suivant "D < 15 M" et il ne calculera pas le niveau sonore pour cet observateur. Il est à noter que le format d'entrée des observateurs est compatible avec celui des observateurs du modèle STAMINA 1,0; on peut ainsi directement utiliser les mêmes cartes dans les deux simulations.

Les formats d'entrée des différents paramètres sont les suivants: nombre de segments: valeur entière, colonne un à cinq.

Pour les paramètres associés à chaque segment: six premiers paramètres: valeurs réelles, avec le point décimal, et débutant aux colonnes un, onze, vingt-et-un, trente-et-un, quarante-et-un et cinquante-et-un; le septième paramètre: valeur entière dans la colonne soixante-et-un.

Le nombre d'observateurs est une valeur entière placée dans les colonnes un à cinq.

Les coordonnées des observateurs sont des valeurs réelles, avec le point décimal, et débutant aux colonnes un et onze; le numéro de l'observateur peut se placer dans les colonnes quarante-et-un à cinquante-et-un.

Le nombre de camions est une valeur entière occupant les colonnes un à cinq tandis que l'angle, en degré, de sommation et le paramètre d'atténuation sont des valeurs réelles, avec le point décimal, et qui débutent aux colonnes un et onze.

La figure B-3 présente les résultats de la simulation du poste de pesée de l'autoroute vingt à Beloeil. On peut voir que le niveau sonore calculé correspond bien à celui mesuré sur le terrain dans le cas de l'observateur numéro trois.

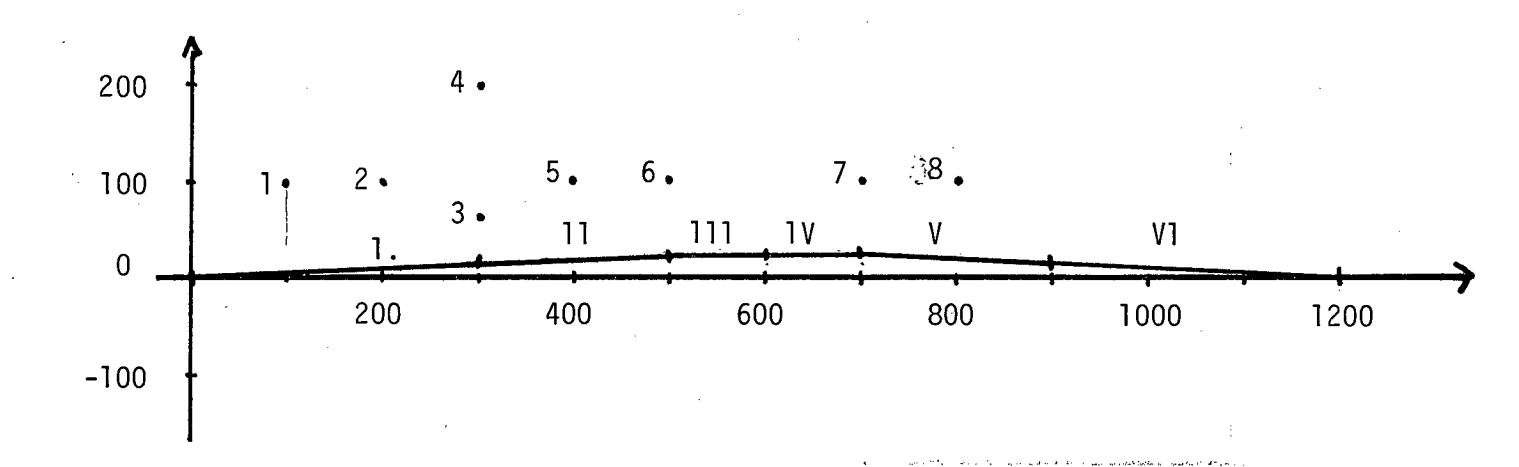


Figure: B-l: Poste de pesée de Beloeil

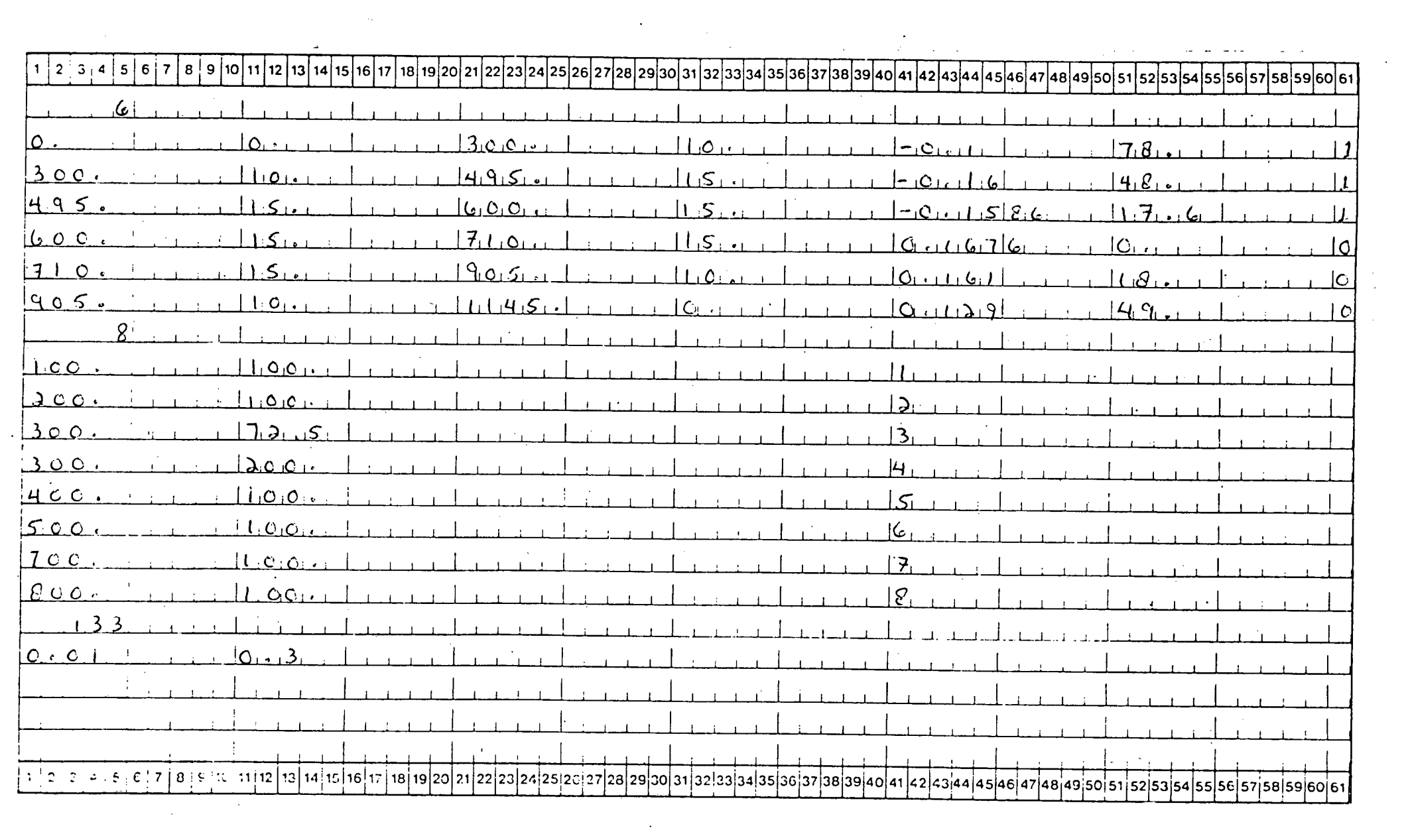


Figure B-2: Paramètres du poste de pesée nécessaires à la simulation

```
1 /4"
```

PREDICTION DU NIVEAU SONORE PRODUIT PAR LES CAMIONS D'UN POSTE DE PESEE (SYSTEME INTERNATIONAL D'UNITE)

```
SEGMENT DE ROUTE # 1
                     ACCELERATION
    SEGMENT DE ROUTE # 2
                     ACCELERATION
                     X2: 495.00
Y2: 15.00
         300.00
    Y1 : 10.00 Y2 : 15.00
VITESSE DES CAMIONS SUR LE SEGMENT : V= -0.16*R + 48.00
SEGMENT DE ROUTE # 3
                     ACCELERATION
    X1 : 495.00
Y1 : 15.00
                     X2: 600.00
Y2: 15.00
    VITESSE DES CAMIONS SUR LE SEGMENT : V= -0.16*R + 17.60
SEGMENT DE ROUTE # 4
                     DECCELERATION
                     X2: 710.00
Y2: 15.00
    X1: 600.00
    ŶĬ: ĬŚ.00
    VITESSE DES CAMIONS SUR LE SEGMENT : V=
                                        0.17*R +
SEGMENT DE ROUTE # 5
                     DECCELERATION
    SEGMENT DE ROUTE # 6
                     DECCELERATION
                     X2: 1145.00
    X1: 905.00
                     Y2: 0.0
    Y1: 10.00
    VITESSE DES CAMIONS SUR LE SEGMENT : V=
                                        0.13*R-+ 49.00
```

Figure B-3: Résultats de la simulation

OBSERVA	ATEURS	
	X	Y
1	100.00	100.00
2	200.00	100.00
3	300.00	72.50
4	300.00	200.00
5	400.00	100.00
6	500.00	100.00
. 7	700.00	100.00
8	800.00	100.00
	•	•
NOMBRE D	DE CAMIONS A L H	EURE : 133
	**************************************	QUEL

ANGLE (EN DEGRE) SUR LEQUEL

ON FAIT LA SOMMATION : 0.01
COEF. D ATTENUATION (ALPHA) : 0.30

